

دیفرانسیل‌های آبدلی ترجمه‌ی ابوالفضل طاهری

چکیده

هدف اصلی ما ساخت توابع روی رویه‌های ریمان فشرده با تعیین خصوصیات تحلیلی آن‌ها می‌باشد (به عنوان مثال توابع مرمورفیک با نقاط تکین مشخص شده). در اینجا می‌خواهیم در مورد این مساله صحبت کنیم. با توصیف دیفرانسیل‌های مرمورفیک شروع می‌کنیم که ساده‌تر از بررسی توابع کلی است و ابزار بنیادی برای بررسی و ساخت توابع نیز محسوب می‌شود. در مقاله‌ی «میراث آبل در هندسه‌ی جبری»، کارهایی که آبل برای حل برخی انتگرال‌ها انجام داد، و برخی از نتایج آن را می‌بینیم. در این مقاله که ترجمه‌ی فصل ۴ از [۱] است، با صورت مدرن فرم‌های آبدلی و انتگرال‌های آبدلی آشنا می‌شویم.

۱ فرم‌های دیفرانسیل و فرمول‌های انتگرال

ابتدا مقدمات نظریه‌ی انتگرال روی منیفلدهای هموار ۲-بعدی را با استفاده از نمادگذاری مختلط بیان می‌کنیم. فرض کنید \mathcal{R} یک منیفلد باشد و

$$z : U \subset \mathcal{R} \rightarrow V \subset \mathbb{C}$$

یک نگاشت نقشه^۱ باشد. نگاشت تغییر مختصات^۲ $\tilde{z}(z, \bar{z})$ برای دو نگاشت نقشه با $U \cap \tilde{U} = \emptyset$ ، تعریف می‌شود:

$$\tilde{z} \circ z^{-1} : z(U \cap \tilde{U}) \rightarrow \tilde{z}(U \cap \tilde{U})$$

این نگاشت با فرض هموار بودن z و \tilde{z} هموار است.

اگر برای هر نقشه روی \mathcal{R} توابع مقدار مختلط $f(z, \bar{z})$ ، $p(z, \bar{z})$ ، $q(z, \bar{z})$ و $s(z, \bar{z})$ را اختصاص دهیم، به طوری که:

$$f = f(z, \bar{z}) \quad (1)$$

$$\omega = p(z, \bar{z})dz + q(z, \bar{z})d\bar{z} \quad (2)$$

$$S = s(z, \bar{z})dz \wedge d\bar{z} \quad (3)$$

تحت تغییر مختصات ثابت باشند، در این صورت f یک تابع (۰-فرم)، ω دیفرانسیل (۱-فرم) و S یک ۲-فرم روی \mathcal{R} است. داریم:

$$dz = dx + idy, \quad d\bar{z} = dx - idy$$

بنابراین می‌توان ω و S را بر حسب مختصات حقیقی x, y نوشت. ضرب خارجی دو ۱-فرم ω_1, ω_2 ، یک ۲-فرم به شکل زیر می‌دهد:

$$\omega_1 \wedge \omega_2 = (p_1q_2 - p_2q_1)dz \wedge d\bar{z}$$

^۱Local parameter

^۲Transition function

اگر قرار دهیم

$$\omega^{(1,0)} = p(z, \bar{z})dz, \omega^{(0,1)} = q(z, \bar{z})d\bar{z}$$

در این صورت $\omega^{(1,0)}, \omega^{(0,1)}$ مستقل از انتخاب مختصات موضعی هلمولورفیک هستند و بنابراین دیفرانسیل‌ها سرتاسری روی \mathcal{R} تعریف می‌شوند. ۱- فرم ω را از نوع $(1, 0)$ (معادلا از نوع $((0, 1))$) می‌گوییم اگر و تنها اگر به صورت موضعی به شکل $\omega = pdz$ ($\omega = qd\bar{z}$) باشد. به عبارتی بخش $(0, 1)$ $((1, 0))$ آن ثابت است. فضای دیفرانسیل‌ها به وضوح جمع مستقیم زیرفضاهای $\omega^{(1,0)}$ و $\omega^{(0,1)}$ است.

حال می‌توانیم انتگرال را تعریف کنیم:

۱. انتگرال ۰- فرم‌ها روی ۰- زنجیرها، مجموعه‌ای متناهی از نقاط \mathcal{R} مانند $\{P_\alpha\}_\alpha$ ؛

$$\sum_{\alpha} f(P_\alpha)$$

۲. انتگرال ۱- فرم‌ها روی ۱- زنجیرها (مسیرها، خم‌های هموار جهت‌پذیر و اجتماع متناهی از آن‌ها)؛

$$\int_{\gamma} \omega$$

۳. انتگرال ۲- فرم‌ها روی ۲- زنجیرها، اجتماع متناهی از دامنه‌ها؛

$$\int_D S$$

اگر $U \rightarrow [0, 1] : \gamma$ و $D \subset U$ درون یک دیسک مختصاتی باشند، انتگرال‌ها به صورت زیر تعریف می‌شود:

$$\int_{\gamma} \omega = \int_0^1 \left(p(z(\gamma(t)), \overline{z(\gamma(t))}) \frac{dz(\gamma)}{dt} + q(z(\gamma(t)), \overline{z(\gamma(t))}) \frac{d\bar{z}(\gamma)}{dt} \right) dt$$

$$\int_D S = \int_D s(z, \bar{z}) dz \wedge d\bar{z}$$

با توجه به ثابت بودن فرم‌ها تحت تغییر مختصات، انتگرال‌های فوق خوش تعریف است.

عملگر دیفرانسیل d ، یک k - فرم را به یک $k+1$ - فرم می‌برد و به صورت زیر تعریف می‌شود:

$$df = f_z dz + f_{\bar{z}} d\bar{z} \quad (4)$$

$$d\omega = (q_z - p_{\bar{z}}) dz \wedge d\bar{z} \quad (5)$$

$$dS = 0 \quad (6)$$

تعریف ۱. k - فرم ω را دقیق می‌گوییم اگر به صورت دیفرانسیل یک $k-1$ فرم باشد یعنی $\omega = df$ ، و آن را بسته می‌گوییم اگر $d\omega = 0$.

داریم $d^2 = 0$ ، بنابراین فرم‌های دقیق زیرمجموعه‌ی فرم‌های بسته است. یکی از مهمترین خصوصیات d در قضیه‌ی استوکس مطرح می‌شود.

قضیه ۲. (استوکس^۳) فرض کنید D یک ۲- زنجیر با مرز قطعه‌ای هموار ∂D باشد. در این صورت برای هر فرم دیفرانسیل ω داریم:

$$\int_D d\omega = \int_{\partial D} \omega$$

یکی از کاربردهای مهم قضیه‌ی استوکس در ۱- فرم‌ها مطرح است. فرض کنید γ_{PQ} خمی باشد که P را به Q وصل می‌کند. چه موقع $\int_{\gamma_{PQ}} \omega$ تنها به نقاط P و Q وابسته است و مستقل از مسیر انتگرال‌گیری است؟

^۳Stokes

نتیجه ۳. فرم دیفرانسیل ω بسته است اگر و تنها اگر برای هر دو خم متجانس γ و $\tilde{\gamma}$ داشته باشیم:

$$\int_{\gamma} \omega = \int_{\tilde{\gamma}} \omega$$

اثبات. تفاضل فرم‌های متجانس γ و $\tilde{\gamma}$ مرز دامنه‌ای مانند D است. بنابراین داریم:

$$\int_{\gamma} \omega - \int_{\tilde{\gamma}} \omega = \int_{\partial D} \omega = \int_D d\omega = 0$$

□

و این حکم را نتیجه می‌دهد.

نتیجه ۴. فرض کنید ω فرم دیفرانسیل بسته باشد و F_g مدل همبند ساده از رویه‌ی ریمانی با g گونه^۵ باشد و P نقطه‌ای در F_g باشد. در این صورت تابع

$$f(P) = \int_P^P \omega, \quad P \in F_g$$

به طوری که مسیر انتگرال‌گیری به تمامی در F_g است، روی F_g خوش‌تعریف است.

به سادگی می‌توان دید:

$$d\left(\int_P^P \omega\right) = \omega(P)$$

فرض کنید $\gamma_1, \dots, \gamma_n$ یک پایه برای همولوژی روی \mathcal{R} باشد و ω یک دیفرانسیل بسته باشد. تناوب‌های ω را به صورت زیر تعریف می‌کنیم:

$$\Lambda_i = \int_{\gamma_i} \omega$$

هر خم بسته γ روی \mathcal{R} متجانس است با خمی به شکل $\sum n_i \gamma_i$ که $n_i \in \mathbb{Z}$ ، و این نتیجه می‌دهد:

$$\int_{\gamma} \omega = \sum n_i \Lambda_i$$

بنابراین Λ_i ها شبکه‌ی تناوب‌های ω را تولید می‌کنند. به طور خلاصه اگر رویه‌ی ریمانی با g گونه باشد و پایه‌ی فرمال برای همولوژی آن $a_1, b_1, \dots, a_g, b_g$ باشد، متناظر با آن‌ها تناوب‌های زیر را تعریف می‌کنیم:

$$A_i = \int_{a_i} \omega, \quad B_i = \int_{b_i} \omega$$

قضیه ۵. (تساوی دوخطی ریمان^۶) فرض کنید \mathcal{R} یک رویه‌ی ریمانی با g گونه باشد و $a_i, b_i, i = 1, \dots, g$ پایه‌ی فرمال برای همولوژی آن باشد، همچنین F_g مدل همبند ساده‌ی آن باشد. فرض کنید ω, ω' دو دیفرانسیل بسته روی \mathcal{R} باشند و A_i, B_i, A'_i, B'_i تناوب‌های متناظر با آن‌ها باشد. در این صورت

$$\int_{\mathcal{R}} \omega \wedge \omega' = \int_{\partial F_g} \omega'(P) \int_P^P \omega = \sum_{j=1}^g (A_j B'_j - A'_j B_j) \quad (7)$$

که P نقطه‌ای از F_g است و مسیر انتگرال، $[P, P]$ در F_g قرار دارد.

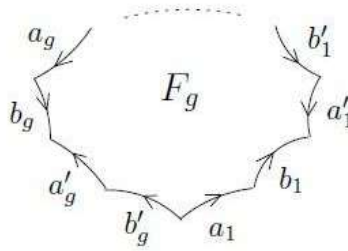
اثبات. رویه‌ی ریمانی \mathcal{R} را در امتداد تمام حلقه‌های $a_i, b_i, i = 1, \dots, g$ برش دهید تا دامنه‌ی همبند ساده‌ی F_g با مرز

$$\partial F_g = \sum_{i=1}^g a_i + a_i^{-1} + b_i + b_i^{-1}$$

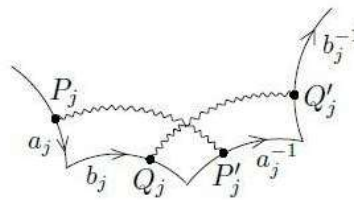
^۴Homological

^۵genus

^۶Riemann's bilinear identity



شکل ۱: مدل همبند ساده از رویه‌ی ریمان \mathcal{R}



شکل ۲: اثبات تساوی دوخطی ریمان

بدست آید. اولین تساوی (V) مستقیماً از قضیه‌ی استوکس با $D = F_g$ و نتیجه‌ی ۴، حاصل می‌شود. خم‌های a_j و a_j^{-1} روی مرز F_g در \mathcal{R} مساوی‌اند اما جهت مخالف دارند. برای نقاط P_j و P'_j که به ترتیب روی a_j و a_j^{-1} هستند و در \mathcal{R} یکی هستند داریم:

$$\omega'(P_j) = \omega'(P'_j)$$

$$\int_{P_j}^{P_j} \omega - \int_{P'_j}^{P'_j} \omega = \int_{P'_j}^{P_j} \omega = -B_j \quad (8)$$

به همین ترتیب برای نقاط $Q_j \in b_j$ و $Q'_j \in b_j^{-1}$ داریم:

$$\omega'(Q_j) = \omega'(Q'_j)$$

$$\int_{P_j}^{Q_j} \omega - \int_{P_j}^{Q'_j} \omega = \int_{Q'_j}^{Q_j} \omega = A_j \quad (9)$$

با جایگذاری داریم:

$$\int_{\partial F_g} \omega'(P) \int_{P_j}^P \omega = \sum_{j=1}^g (-B_j \int_{a_j} \omega' + A_j \int_{b_j} \omega') =$$

$$= \sum_{j=1}^g (A_j B'_j - A'_j B_j)$$

در نهایت برای اثبات قضیه برای یک پایه‌ی فرمال دلخواه برای $H_1(\mathcal{R}, \mathbb{C})$ ، مستقیماً بررسی کرد که سمت راست تساوی (V) تحت نگاشت‌های تغییر مختصات ثابت است. \square

۲ دیفرانسیل‌های آبلی نوع اول، دوم و سوم

فرض کنید \mathcal{R} یک رویه‌ی ریمانی باشد. در این صورت نگاشت‌های تغییر مختصات هلمورفیک است و می‌توانیم دیفرانسیل‌های خاصی را روی \mathcal{R} در نظر بگیریم.

تعریف ۶. دیفرانسیل ω روی رویه‌ی ریمانی \mathcal{R} را هلمورفیک (یا فرم دیفرانسیل آبلی نوع اول) می‌گوییم اگر برای هر نقشه‌ی موضعی، قابل نمایش به صورت

$$\omega = h(z)dz$$

باشد که در آن $h(z)$ تابعی هلمورفیک است. دیفرانسیل $\bar{\omega}$ را پادهلمورفیک^۴ می‌گوییم.

طبق تعریف دیفرانسیل‌های هلمورفیک و پادهلمورفیک بسته‌اند. فرم‌های دیفرانسیل هلمورفیک را به عنوان یک فضای برداری مختلط با $H^1(\mathcal{R}, \mathbb{C})$ نمایش می‌دهیم. در ادامه می‌خواهیم بدانیم بعد این فضا چگونه است؟

لم ۷. فرض کنید ω یک فرم دیفرانسیل هلمورفیک ناصفر روی \mathcal{R} باشد. در این صورت تناوب‌های A_j و B_j از آن دارای این خاصیت است که:

$$\text{Im}\left(\sum_{j=1}^g A_j \bar{B}_j\right) < 0$$

اثبات. تناوب‌های $\bar{\omega}$ عبارتند از \bar{A}_j, \bar{B}_j . حال قضیه‌ی دوخطی ریمان را در مورد ω و $\bar{\omega}$ به کار می‌بریم و با استفاده از

$$i\omega \wedge \bar{\omega} = i |h|^2 dz \wedge d\bar{z} = 2 |h|^2 dx \wedge dy > 0$$

حکم نتیجه می‌شود. □

نتیجه ۸. اگر تمام a -تناوب‌های دیفرانسیل هلمورفیک ω صفر باشد، یعنی

$$\int_{a_j} \omega = 0, \quad j = 1, \dots, g$$

در این صورت $\omega \equiv 0$.

نتیجه ۹. اگر تمام تناوب‌های دیفرانسیل هلمورفیک ω حقیقی باشد، آنگاه $\omega \equiv 0$.

نتیجه ۱۰. $\dim(H^1(\mathcal{R}, \mathbb{C})) \leq g$.

اثبات. اگر $\omega_1, \dots, \omega_{g+1}$ هلمورفیک باشند، در این صورت ترکیب خطی از آن‌ها به شکل $\sum_{i=1}^{g+1} \alpha_i \omega_i$ وجود دارد که تمام a -تناوب‌های آن صفر است. حال بنابر نتیجه ۸ داریم:

$$\sum_{i=1}^{g+1} \alpha_i \omega_i \equiv 0$$

بنابراین $\omega_1, \dots, \omega_{g+1}$ وابسته‌ی خطی‌اند. پس $\dim(H^1(\mathcal{R}, \mathbb{C})) \leq g$. □

قضیه ۱۱. بعد فضای دیفرانسیل‌های هلمورفیک از یک رویه‌ی ریمانی فشرده برابر است با تعداد گونه‌های آن، یعنی داریم:

$$\dim(H^1(\mathcal{R}, \mathbb{C})) = g(\mathcal{R})$$

اثبات این قضیه را در بخش‌های بعدی می‌آوریم. هنگامی که رویه‌ی ریمانی \mathcal{R} مشخصاً توصیف شده باشد، معمولا می‌توانیم پایه‌ی $\omega_1, \dots, \omega_g$ از دیفرانسیل‌های هلمورفیک را برای آن صریحاً بیان کنیم.

^۴anti-holomorphic

قضیه ۱۲. ديفرانسیل های

$$\omega_j = \frac{\lambda^{j-1} d\lambda}{\mu}, \quad j = 1, \dots, g$$

یک پایه از ديفرانسیل های هلمورفیک برای رویه ی ریمانی ابربیضوی

$$\mu^2 = \prod_{i=1}^N (\lambda - \lambda_i) \quad \lambda_i \neq \lambda_j$$

است که در آن $N = 2g + 1$ یا $N = 2g + 2$.

تعریف ۱۳. فرض کنید $a_j, b_j, j = 1, \dots, g$ پایه های فرمال برای $H_1(\mathcal{R}, \mathbb{Z})$ باشند. پایه ی دوگان از ديفرانسیل های هلمورفیک $\omega_k, k = 1, \dots, g$ که به وسیله ی

$$\int_{a_j} \omega_k = 2\pi i \delta_{jk}$$

نرمال می شود، فرمال می گوئیم.

تا اینجا بحث در مورد ديفرانسیل های هلمورفیک بود، می خواهیم در مورد ديفرانسیل های با نقاط تکین نیز صحبت کنیم.

تعریف ۱۴. ديفرانسیل Ω را مرمورفیک یا ديفرانسیل آبلی می گوئیم اگر در هر نقشه ی موضعی $U \rightarrow \mathbb{C}$ به شکل

$$\Omega = g(z) dz$$

باشد که $g(z)$ تابعی مرمورفیک است. انتگرال $\int_P^P \Omega$ از یک ديفرانسیل مرمورفیک را انتگرال آبلی می گویند.

فرض کنید z یک مختصات موضعی در نقطه ی P باشد و $z(P) = 0$. همچنین

$$\Omega = \sum_{k=N(P)}^{\infty} g_k z^k dz$$

نمایش ديفرانسیل Ω در P باشد. اعداد $N(P)$ و g_{-1} به انتخاب مختصات موضعی بستگی ندارد و تنها وابسته به Ω هستند. $N(P)$ را مرتبه ی نقطه ی P می گوئیم. اگر $N(P)$ منفی باشد، $-N(P)$ را مرتبه ی قطب Ω در P می گوئیم. ضریب g_{-1} را باقیمانده ی Ω در P می نامیم. این عدد به شکل زیر نیز قابل تعریف است:

$$\text{res}_P \Omega \equiv g_{-1} = \frac{1}{2\pi i} \int_{\gamma} \Omega$$

که γ یک خم ساده ی بسته حول P در جهت مثبت است.

فرض کنید S مجموعه نقاط تکین Ω ، یعنی

$$S = \{P \in \mathcal{R} \mid N(P) < 0\}$$

باشد. مجموعه ی S گسسته است و اگر \mathcal{R} فشرده باشد، S متناهی است.

لم ۱۵. فرض کنید Ω یک ديفرانسیل آبلی روی رویه ی ریمانی فشرده ی \mathcal{R} باشد. در این صورت

$$\sum_{P_j \in S} \text{res}_{P_j} \Omega = 0$$

که S مجموعه ی نقاط تکین Ω است.

[^]Residue

اثبات. با استفاده از مدل همبند ساده F_g از \mathcal{R} و تعریف انتگرالی معادل با $res_{P_j} \Omega$ داریم:

$$\sum_{P_j \in S} res_{P_j} \Omega = \frac{1}{\sqrt{\pi}i} \sum_j \int_{\gamma_j} \Omega = \frac{1}{\sqrt{\pi}i} \int_{\partial F} \Omega = 0$$

در اینجا از اینکه Ω روی $\mathcal{R} \setminus S$ هلمورفیک است و معادله

$$\partial F_g = \sum_{i=1}^g a_i + a_i^{-1} + b_i + b_i^{-1}$$

□

استفاده کردیم.

تعریف ۱۶. یک دیفرانسیل مرمورفیک با نقاط تکین را دیفرانسیل آبلی از نوع دوم می‌گوییم اگر باقی‌مانده تمام نقاط تکین آن صفر باشد. یک دیفرانسیل مرمورفیک با باقی‌مانده ناصفر را دیفرانسیل آبلی از نوع سوم می‌گوییم.

لم ۱۵ انگیزه‌ی انتخاب دیفرانسیل‌های مرمورفیک خاصی را به ما می‌دهد. دیفرانسیل نوع دوم $\Omega_R^{(N)}$ که تنها در نقطه‌ی $R \in \mathcal{R}$ نقطه‌ی تکین به شکل زیر دارد:

$$\Omega_R^{(N)} = \left(\frac{1}{z^{N+1}} + O(1) \right) dz \quad (10)$$

که در آن z مختصات موضعی در R با $z(R) = 0$ است. دیفرانسیل آبلی نوع سوم Ω_{RQ} دو نقطه‌ی تکین در R, Q به شکل زیر دارد:

$$res_R \Omega_{RQ} = -res_Q \Omega_{RQ} = 1$$

بنابراین نزدیک R داریم:

$$\Omega_{RQ} = \left(\frac{1}{z_R} + O(1) \right) dz_R \quad (11)$$

و در نزدیکی Q داریم:

$$\Omega_{RQ} = \left(-\frac{1}{z_Q} + O(1) \right) dz_Q \quad (12)$$

که z_Q, z_R مختصات موضعی در R و Q با $z_R(R) = z_Q(Q) = 0$ است. برای انتگرال‌های آبلی معادل نتیجه می‌شود:

$$\int^P \Omega_R^{(N)} = -\frac{1}{Nz^N} + O(1) \quad P \rightarrow R \quad (13)$$

$$\int^P \Omega_{RQ} = \log z_R + O(1) \quad P \rightarrow R \quad (14)$$

$$\int^P \Omega_{RQ} = -\log z_Q + O(1) \quad P \rightarrow Q \quad (15)$$

انتگرال‌های آبلی نوع اول و دوم روی F_g تک مقداری^۹ است. انتگرال آبلی نوع سوم Ω_{RQ} روی $F_g \setminus [R, Q]$ تک مقداری است که در آن $[R, Q]$ برش از R به Q واقع در F_g است.

دیفرانسیل آبلی نوع دوم $\Omega_R^{(N)}$ وابسته به انتخاب مختصات موضعی z است.

می‌توانیم دیفرانسیل‌های آبلی نوع اول را به $\Omega_R^{(N)}$ و Ω_{RQ} با حفظ نقاط تکین اضافه کنیم. در واقع ترکیب خطی سره $\sum_{i=1}^g \alpha_i \omega_i$ را می‌توانیم به شکل زیر نرمال کنیم:

$$\int_{a_j} \Omega_R^{(N)} = 0, \quad \int_{a_j} \Omega_{RQ} = 0, \quad j = 1, \dots, g \quad (16)$$

تعریف ۱۷. دیفرانسیل‌های $\Omega_R^{(N)}$ و Ω_{RQ} با نقاط تکین تعریف شده در (۱۰)، (۱۱) و (۱۲) و تمام a -تناوب‌های صفر، معادله‌ی (۱۶)، دیفرانسیل آبلی نرمال شده‌ی نوع دوم و سوم می‌نامیم.

^۹Single-Valued

قضیه ۱۸. رویه‌ی ریمان فشرده‌ی \mathcal{R} با پایه‌ی استاندارد از حلقه‌های $a_1, b_1, \dots, a_g, b_g$ ، نقاط $P, Q \in \mathcal{R}$ ، مختصات موضعی z در \mathcal{R} و $N \in \mathbb{N}$ داده شده است. در این صورت دیفرانسیل آبدی نرمال از نوع دوم $\Omega_R^{(N)}$ و نوع سوم Ω_{RQ} به صورت یکتا وجود دارد.

وجود این نوع فرم‌ها را در بخش‌های بعدی ثابت می‌کنیم اما اثبات یکتایی آن ساده است. تفاضل هلمورفیک دو دیفرانسیل نرمال با نقاط تکین یکسان، دارای a -تناوب‌های صفر است و بنابراین دیفرانسیل صفر است و این یکتایی را نتیجه می‌دهد. بنا به نتیجه‌ی ۹ دیفرانسیل‌های آبدی از نوع دوم و سوم می‌تواند نسبت به (۱۶) متقارن‌تر نرمال شود. تمام تناوب‌ها را می‌توان به صورت موهومی نرمال کرد:

$$Re \int_{\gamma} \Omega = 0, \quad \forall \gamma \in H_1(\mathcal{R}, \mathbb{Z})$$

نتیجه ۱۹. دیفرانسیل‌های آبدی نرمال شده یک پایه برای فضای دیفرانسیل‌های آبدی روی \mathcal{R} است.

۳ تناوب‌های دیفرانسیل‌های آبدی. وارپته ژاکوبی

تعریف ۲۰. فرض کنید $j = 1, \dots, g$ ، a_j, b_j پایه‌ی استاندارد برای همولوژی \mathcal{R} باشد و ω_k ، $k = 1, \dots, g$ ، پایه‌ی دوگان متناظر برای $H^1(\mathcal{R}, \mathbb{C})$ باشد. ماتریس

$$B_{ij} = \int_{b_i} \omega_j$$

را ماتریس متناوب \mathcal{R} می‌گویند.

قضیه ۲۱. ماتریس متناوب، متقارن است و بخش حقیقی آن منفی است، یعنی:

$$B_{ij} = B_{ji}$$

$$Re(B\alpha, \alpha) < 0, \quad \forall \alpha \in \mathbb{R}^g \setminus \{0\}$$

اثبات. برای اثبات قسمت اول، دیفرانسیل‌های هلمورفیک نرمال، $\omega = \omega_i$ و $\omega' = \omega_j$ را در قضیه‌ی دوخطی ریمان جایگذاری کنید. صفر بودن سمت چپ، $\omega_i \wedge \omega_j \equiv 0$ ، حکم اول را نتیجه می‌دهد. برای قسمت دوم، لم \forall با $\omega = \sum \alpha_k \omega_k$ نتیجه می‌دهد:

$$0 > Im \sum_{j=1}^g A_j \bar{B}_j = Im \left(\sum_{j=1}^g \imath \pi i \alpha_j \sum_{k=1}^g B_{jk} \alpha_k \right) = \imath \pi Re(B\alpha, \alpha)$$

□

ماتریس متناوب به پایه‌ی همولوژی وابسته است. از نمادگذاری زیر استفاده می‌کنیم تا در ادامه این وابستگی را بررسی کنیم:

$$\begin{pmatrix} \tilde{a} \\ \tilde{b} \end{pmatrix} = \begin{pmatrix} A & B \\ C & D \end{pmatrix} \begin{pmatrix} a \\ b \end{pmatrix}, \quad \begin{pmatrix} A & B \\ C & D \end{pmatrix} \in Sp(g, \mathbb{Z}) \quad (17)$$

لم ۲۲. ماتریس متناوب B و \tilde{B} از رویه‌ی ریمانی R متناظر با پایه‌های همولوژی (a, b) و (\tilde{a}, \tilde{b}) با معادله‌ی زیر در ارتباط هستند:

$$\tilde{B} = \imath \pi i (DB + \imath \pi i C)(BB + \imath \pi i A)^{-1}$$

که در آن A, B, C, D ضرایب ماتریس سمپلیتیک^{۱*} است.

^{۱*} Symplectic

اثبات. فرض کنید $\omega = (\omega_1, \dots, \omega_g)$ پایه استاندارد دوگان نسبت به (a, b) از دیفرانسیل های هلمورفیک باشد. ستون های ماتریس را با دیفرانسیل ها و سطرهای آن را با دورها برچسب گذاری می کنیم. داریم:

$$\int_{\tilde{a}} \omega = 2\pi i A + BB, \quad \int_{\tilde{b}} \omega = 2\pi i C + DB$$

پایه فرمال $H^1(\mathcal{R}, \mathbb{C})$ دوگان نسبت به پایه (\tilde{a}, \tilde{b}) توسط ضرب از راست بدست می آید:

$$\tilde{\omega} = 2\pi i \omega (2\pi i A + BB)^{-1}$$

برای ماتریس متناوب این نتیجه می دهد:

$$\tilde{B} = \int_{\tilde{B}} \tilde{\omega} = (2\pi i C + DB) 2\pi i (2\pi i A + BB)^{-1}$$

□

با استفاده از تساوی دوخطی ریمان تناوب های فرم های دیفرانسیل آبی نرمال شده از نوع دوم و سوم را می توان به صورت بخش هایی از دیفرانسیل های هلمورفیک نرمال شده بیان کرد.

لم ۲۳. فرض کنید ω_j ، $\Omega_R^{(N)}$ و فرم های دیفرانسیل آبی نرمال شده در تعریف ۱۷ باشند. همچنین \approx مختصات موضعی در R با $z(R) = 0$ باشد و

$$\omega_j = \sum_{k=0}^{\infty} \alpha_{k,j} z^k dz \quad P \sim R \quad (18)$$

نمایش دیفرانسیل هلمورفیک نرمال در R باشد. در این صورت تناوب های $\Omega_R^{(N)}$ و Ω_{RQ} برابر است با:

$$\int_{b_j} \Omega_R^{(N)} = \frac{1}{N} \alpha_{N-1,j} \quad (19)$$

$$\int_{b_j} \Omega_{RQ} = \int_R^Q \omega_j \quad (20)$$

که مسیر انتگرال $[R, Q]$ در (19) خم های a و b را قطع نمی کند.

اثبات. در قضیه دوخطی ریمان قرار دهید $\omega = \Omega_R^{(N)}$ و $\omega' = \omega_j$. حال انتگرال:

$$\int_{\partial F_g} \omega_j(P) \int^P \Omega_R^{(N)}$$

به کمک باقیمانده ها قابل محاسبه است. تابع زیر انتگرال یک تابع مرمومورفیک روی F_g با یک نقطه ی تکین در نقطه ی R است. از ضرب معادلات (۱۳) و (۱۸) داریم:

$$res_R \omega_j(P) \int^P \Omega_R^{(N)} = -\frac{1}{N} \alpha_{N-1,j}$$

در سمت راست تساوی ریمان تنها قسمت شامل $A'_j = 2\pi i$ غیر ثابت است که این (۱۹) را نتیجه می دهد. با محاسبات مشابه برای $\omega_j = \Omega_{RQ}$ و $\omega' = \omega_j$ ثابت می شود:

$$\int_{\partial F_g} \Omega_{RQ}(P) \int_{P_s}^P \omega_j = 2\pi i \left(\int_{P_s}^R - \int_{P_s}^Q \omega_j \right) = 2\pi i \int_Q^R \omega_j = 2\pi i \int_{b_j} \Omega_{RQ}$$

□

در انتهای این بخش دو نمادگذاری را معرفی می کنیم که نقش اساسی در مطالعه توابع روی رویه های ریمان فشرده دارند. فرض کنید Λ یک شبکه به شکل

$$\Lambda = \{2\pi i N + BM, \quad N, M \in \mathbb{Z}^g\}$$

تولید شده توسط تناوب های \mathcal{R} باشد. این شبکه یک هم ارزی روی \mathbb{C}^g تعریف می کند. دو نقطه ی \mathbb{C}^g را هم ارز می گوئیم اگر تفاوتشان معادل یک عضو از Λ باشد.

تعریف ۲۴. چنبره‌ی مختلط^{۱۱}

$$Jac(\mathcal{R}) = \mathbb{C}^g / \Lambda$$

را وارسته‌ی ژاکوبی^{۱۲} (ژاکوبین^{۱۳}) از \mathcal{R} می‌گویند.

تعریف ۲۵. نگاشت

$$A: \mathcal{R} \rightarrow Jac(\mathcal{R}), \quad A(P) = \int_P^P \omega$$

که در آن $\omega = (\omega_1, \dots, \omega_g)$ پایه‌ی فرمال از دیفرانسیل‌های هلمولرفیک است و $P_0 \in \mathcal{R}$ ، را نگاشت آبل^{۱۴} می‌گویند.

۴ دیفرانسیل‌های هارمونیک و اثبات قضایای وجودی

توجه کنید که زاویه‌ی بین بردارهای مماس روی رویه‌های ریمان خوش‌تعریف است. بنابراین می‌توانیم فضای مماس را به اندازه‌ی $\frac{\pi}{4}$ دوران دهیم. نگاشت القا شده از این دوران بر روی دیفرانسیل‌ها را عملگر مزدوج^{۱۵} می‌گویند.

$$\omega = f dz + g d\bar{z} \mapsto *\omega = -i f dz + i g d\bar{z}$$

به وضوح $-1 = **$. با استفاده از عملگر مزدوج، دیفرانسیل‌های نوع $(1,0)$ و $(0,1)$ را می‌توان با خاصیت $*\omega = -i\omega$ ($*\omega = i\omega$) مشخص کرد.

فرض کنید \mathcal{R} یک رویه‌ی ریمانی باشد. فضای هیلبرت $L_2(\mathcal{R})$ از دیفرانسیل‌های مربعی انتگرال‌پذیر^{۱۶} با ضرب داخلی

$$(\omega_1, \omega_2) = \int_{\mathcal{R}} \omega_1 \wedge *\bar{\omega}_2 \quad (21)$$

را در نظر بگیرید. در مختصات موضعی $U \subset \mathcal{R} \rightarrow V \subset \mathbb{C}$ ، z داریم:

$$\int_U \omega_1 \wedge *\bar{\omega}_2 = 2 \int_V (f_1 \bar{f}_2 + g_1 \bar{g}_2) dx \wedge dy$$

به سادگی دیده می‌شود که فرمول (۲۱) یک ضرب داخلی هرمیتی^{۱۷} تعریف می‌کند، یعنی:

$$(\omega_2, \omega_1) = \overline{(\omega_1, \omega_2)}$$

$$(\omega, \omega) \geq 0 \text{ and } (\omega, \omega) = 0 \iff \omega = 0$$

زیرفضاهای E و E^* از دیفرانسیل‌های دقیق و کودقیق^{۱۸} را به صورت زیر داریم:

$$E = \{df \mid f \in C_0^\infty(\mathcal{R})\}$$

$$E^* = \overline{\{*\!df \mid f \in C_0^\infty(\mathcal{R})\}}$$

که C_0^∞ فضای توابع هموار روی \mathcal{R} با دامنه‌ی فشرده و علامت بار به معنی بستار در $L_2(\mathcal{R})$ است. زیرفضای عمود $E^\perp, E^{*\perp}$ را در نظر بگیرید و تعریف کنید:

$$H := E^\perp \cap E^{*\perp}$$

توجه داشته باشید که E و E^* عمودند. کافی است برای دیفرانسیل‌های C^∞ ، دقیق و کودقیق بررسی کنیم:

$$(df, *dg) = \int_{\mathcal{R}} df \wedge d\bar{g} = \int_{\mathcal{R}} \bar{g} d(df) = 0$$

^{۱۱}Complex torus

^{۱۲}Jacobi variety

^{۱۳}Jacobian

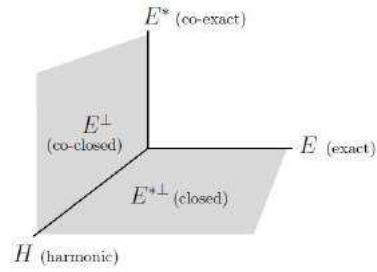
^{۱۴}Abel map

^{۱۵}Conjugation Operator

^{۱۶}square integrable function

^{۱۷}Hermitian scalar product

^{۱۸}Co-exact



شکل ۳: تجزیه متعامد $L_2(\mathcal{R})$

که برای معادله‌ی فوق از قضیه‌ی استوکس برای توابع با دامنه‌ی فشرده و $d^{\top} = 0$ استفاده کردیم. حال تجزیه‌ی متعامد^{۱۹}

$$L_2(\mathcal{R}) = E \oplus E^* \oplus H$$

را داریم که در شکل ۳ دیده می‌شود.

برای تفسیر این زیرفضاها باید دیفرانسیل‌های هموار را در نظر بگیریم. یک C^1 -دیفرانسیل α را بسته (کوبسته) می‌گوییم اگر و تنها اگر $d\alpha = 0$ ($d * \alpha = 0$).

لم ۲۶. فرض کنید $\alpha \in L_2(\mathcal{R})$ ، C^1 باشد. در این صورت $\alpha \in E^{\perp}$ ($\alpha \in E^{*+}$) اگر و تنها اگر α کوبسته (بسته) باشد.

اثبات. مستقیماً از قضیه‌ی استوکس $\alpha \in E^{*+}$ معادل است با

$$0 = (\alpha, *df) = \int_{\mathcal{R}} \alpha \wedge d\bar{f} = \int_{\mathcal{R}} \bar{f} d\alpha$$

□

برای $f \in C_0^{\infty}(\mathcal{R})$ دلخواه. این نتیجه می‌دهد $d\alpha = 0$.

نتیجه ۲۷. فرض کنید $\alpha \in H$ ، C^1 باشد. در این صورت به صورت موضعی داریم:

$$\alpha = f dz + g d\bar{z}$$

که f یک تابع هلمولورفیک و g پادهلمولورفیک است.

تعریف ۲۸. دیفرانسیل h را هارمونیک^{۲۰} می‌گوییم اگر به صورت موضعی $(z : U \subset \mathcal{R} \rightarrow V \subset \mathbb{C})$ به شکل

$$h = dH$$

باشد که $H \in C^{\infty}(V)$ تابعی هارمونیک است یعنی $\frac{\partial^2}{\partial z \partial \bar{z}} H = 0$.

دیفرانسیل‌های هارمونیک و هلمولورفیک رابطه‌ی نزدیک دارند که در لم زیر می‌بینیم:

لم ۲۹. دیفرانسیل h هارمونیک است اگر و تنها اگر به شکل

$$h = \omega_1 + \bar{\omega}_2 \quad (22)$$

باشد که ω_1, ω_2 هلمولورفیک هستند. دیفرانسیل ω هلمولورفیک است اگر و تنها اگر به شکل

$$\omega = h + i * h \quad (23)$$

باشد که h هارمونیک است.

^{۱۹} Orthogonal decomposition

^{۲۰} Harmonic

اثبات. فرض کنید h هارمونیک باشد و به صورت موضعی به شکل $h = dH$ باشد. چون $H_{z\bar{z}} = 0$ ، دیفرانسیل $H_z dz$ هلمولورفیک و دیفرانسیل $H_{\bar{z}} d\bar{z}$ پادهلمولورفیک است. برعکس، فرض کنید $h = fdz + gd\bar{z}$ که f هلمولورفیک و g پادهلمولورفیک است. در این صورت h را می‌توانیم به شکل $h = d(F + G)$ بنویسیم که در آن تابع هلمولورفیک F به صورت $F_z = f$ و تابع پادهلمولورفیک G به صورت $G_{\bar{z}} = g$ تعریف می‌شود. تابع $F + G$ به وضوح هارمونیک است. برای اثبات قسمت دوم لم، دقت کنید که h داده شده در (۲۲)، مجموع

$$h + i * h = 2\omega_1$$

همواره هلمولورفیک است. برعکس، برای هلمولورفیک داده شده ω ،

$$h = \frac{\omega - \bar{\omega}}{2}$$

□ دیفرانسیل هارمونیک است که در (۲۳) صدق می‌کند.

برای اثبات قضیه‌ی بعدی نیاز به خصوصیات توابع هلمولورفیک در فضای L_2 داریم. لم زیر را برای این مسئله داریم.

لم ۳۰. لم ویل^{۲۱}: فرض کنید f تابعی مربعی انتگرال‌پذیر روی دیسک D باشد. در این صورت f هلمولورفیک است اگر و تنها اگر

$$\int_D f \eta_{\bar{z}} dz \wedge d\bar{z} = 0$$

برای هر $\eta \in C_0^\infty(D)$ ، با دامنه‌ی فشرده.

قضیه ۳۱. فضای H فضای دیفرانسیل‌های هارمونیک است.

اثبات. دیفرانسیل هارمونیک h بسته، کوبسته و C^1 است. لم ۲۶ نتیجه می‌دهد $h \in H$. برعکس فرض کنید $\alpha \in H$. برای هر $\eta \in C_0^\infty(\mathcal{R})$ داریم:

$$(\alpha, d\eta) = (\alpha, *d\eta) = 0 \quad (24)$$

مختصات موضعی $z: U \rightarrow V$ را در نظر بگیرید. برای $\alpha = fdz + gd\bar{z}$ ، فرمول (۲۴) نتیجه می‌دهد:

$$\int_V f \eta_{\bar{z}} dz \wedge d\bar{z} = \int_V g \eta_z dz \wedge d\bar{z} = 0$$

□ برای هر $\eta \in C_0^\infty(V)$ هلمولورفیک بودن f و \bar{g} از لم ویل نتیجه می‌شود و لم ۲۹ اثبات را کامل می‌کند.

نتیجه ۳۲. هر دیفرانسیل مربعی انتگرال‌پذیر α روی \mathcal{R} را می‌توان به طور یکتا به صورت جمع متعامد دیفرانسیل دقیق df ، کودقیق $*dg$ و هارمونیک h نوشت:

$$\alpha = df + *dg + h \quad (25)$$

در ادامه می‌خواهیم $2g$ دیفرانسیل هارمونیک مستقل خطی برای رویه‌ی ریمانی فشرده \mathcal{R} ارائه کنیم. حلقه‌ی ساده‌ی γ را روی \mathcal{R} در نظر بگیرید که خود را قطع نمی‌کند. نوار Γ را شامل γ بگیرید. این نوار شامل دوایر متحدالمرکز است و γ آن را به دو بخش Γ^+ و Γ^- تقسیم می‌کند. نوار کوچکتر Γ را شامل γ بگیرید، شکل ۴. تابع حقیقی مقدار F روی \mathcal{R} با خصوصیات

$$F|_{\Gamma^+} = 1, \quad F|_{\mathcal{R} \setminus \Gamma^-} = 0, \quad F \in C^\infty(\mathcal{R} \setminus \gamma)$$

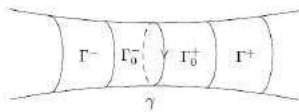
دیفرانسیل هموار α_γ را تعریف می‌کنیم:

$$\alpha_\gamma \begin{cases} dF & \text{on } \Gamma \setminus \gamma \\ 0 & \text{on } (\mathcal{R} \setminus \Gamma) \cup \gamma \end{cases}$$

حال مدل همبند ساده‌ی F_g از \mathcal{R} را در نظر بگیرید و یکی از حلقه‌های پایه‌ی $a_1, b_1, \dots, a_g, b_g$ مثلاً a_1 را برای γ در نظر بگیرید. دیفرانسیل α_γ به روشی که ساختیم، حول b_1 تناوب ناصفر دارد. با انتخاب جهت مناسب، داریم:

$$\int_{b_1} \alpha_\gamma = 1$$

^{۲۱}Weil's lemma



شکل ۴: ساختار فرم‌های بسته و نادقیق

به طوری که تمامی تناوب‌های دیگر α_γ صفر باشد. دیفرانسیل α_γ بسته است و دقیق نمی‌باشد. آن را می‌توانیم به صورت ترکیب دیفرانسیل دقیق df_γ و هارمونیک h_γ نوشت:

$$\alpha_\gamma = df_\gamma + h_\gamma$$

توجه کنید که هر دو قسمت ترکیب هموار است. دیفرانسیل هارمونیک h_γ همان تناوب‌های دیفرانسیل α_γ را دارد. با انتخاب حلقه‌ای مخالف γ از $a_1, b_1, \dots, a_g, b_g$ می‌توانیم به همین ترتیب $2g$ دیفرانسیل هارمونیک مستقل خطی بیابیم. بنابراین برای بعد داریم:

$$\dim H \geq 2g \quad (26)$$

دوباره دیفرانسیل‌های هلمورفیک و پادهلمورفیک را در نظر می‌گیریم و فضای آن‌ها را به ترتیب با \mathcal{H} و $\bar{\mathcal{H}}$ نشان می‌دهیم. در مورد این فضاها به وضوح داریم $\mathcal{H} \perp \bar{\mathcal{H}}$

گزاره ۳۳. فرض کنید \mathcal{R} رویه‌ی ریمانی فشرده با g گونه باشد. در این صورت

$$\dim H^1(\mathcal{R}, \mathbb{C}) \geq g$$

اثبات. فضاهای \mathcal{H} و $\bar{\mathcal{H}}$ متعامدند و دارای بعد یکسانند. به عبارت دیگر بنا به لم ۲۹:

$$H \subset \mathcal{H} \oplus \bar{\mathcal{H}}$$

□ که این نتیجه می‌دهد $\dim H \leq 2 \dim \mathcal{H}$. و از نامساوی (۲۶) حکم نتیجه می‌شود.

قضیه‌ی ۱۱ از گزاره‌ی ۳۳ و نتیجه‌ی ۱۰ حاصل می‌شود.

به عنوان نتیجه‌ای از قضیه‌ی ۱۱، بدست می‌آوریم $\dim H \leq 2g$ ، و در نهایت $\dim H = 2g$. این مشاهده با روش ساخت دیفرانسیل‌های هارمونیک h_γ نتیجه می‌دهد:

گزاره ۳۴. رویه‌ی ریمانی فشرده با پایه‌ی فرمال از حلقه‌های $a_1, b_1, \dots, a_g, b_g$ داده شده است. در این صورت $2g$ دیفرانسیل هارمونیک یکتای h_1, \dots, h_{2g} با تناوب‌های

$$\int_{a_j} h_i = \int_{b_j} h_{g+i} = \delta_{ij}, \quad \int_{a_j} h_{g+i} = \int_{b_j} h_i = 0, \quad i = 1, \dots, g$$

وجود دارد.

حال می‌خواهیم دیفرانسیل‌های آبدی نوع دوم، $\Omega_R^{(N)}$ را بسازیم. همسایگی‌های تودرتو $R \in U_\circ \subset U_1 \subset \mathcal{R}$ شامل نقطه‌ی R و تابع هموار $\rho \in C^\infty(\mathcal{R})$ با این خاصیت که

$$\rho = \begin{cases} 1 & \text{on } U_\circ \\ 0 & \text{on } \mathcal{R} \setminus U_1 \end{cases}$$

را در نظر بگیرید. فرض کنید z یک مختصات موضعی در U_1 با $z(R) = 0$ باشد. دیفرانسیل

$$\psi := d\left(-\frac{\rho}{Nz^N}\right) = \left(-\frac{\rho_z}{Nz^N} + \frac{\rho}{z^{N+1}}\right)dz - \left(\frac{\rho_{\bar{z}}}{Nz^N}\right)d\bar{z}$$

را با همان نقطه تکین $\Omega_R^{(N)}$ به عنوان یکی از نقاط تکین‌اش، بگیرید. بخش $(0, 1)$ دیفرانسیل ψ روی \mathcal{R} هموار است و می‌توانیم آن را به مولفه‌های بسته، کوبسته و هارمونیک تجزیه کنیم:

$$\psi - i * \psi = df + *dg + h \in E(\mathcal{R}) \oplus E^*(\mathcal{R}) \oplus H(\mathcal{R})$$

بگیرید:

$$\alpha := \psi - df$$

لم ۳۵. دیفرانسیل α روی $\mathcal{R} \setminus R$ هارمونیک است و دیفرانسیل $\alpha - \frac{dz}{z^{N+1}}$ روی U_0 هارمونیک است.

اثبات. مجموعه‌ای بسته مانند $\bar{U} \subset U_0$ انتخاب کنید. برای α داریم:

$$\alpha = d\left(-\frac{\rho}{Nz^{N+1}}\right) - df$$

که نتیجه می‌شود $\alpha \perp E^*(\mathcal{R} \setminus \bar{U})$. از طرف دیگر

$$\alpha = i * \psi + *dg + h$$

که نتیجه می‌شود $\alpha \perp E(\mathcal{R} \setminus \bar{U})$. با ترکیب دو نتیجه بدست آمده داریم $\alpha \in H(\mathcal{R} \setminus \bar{U})$ برای $R \in U$ دلخواه. در مورد نمایش α در U_0 مشاهده می‌شود که $\alpha - \frac{dz}{z^{N+1}}|_{U_0} \equiv 0$. روی U_0 نتیجه می‌شود

$$\alpha - \frac{dz}{z^{N+1}} = -df = *dg + h$$

□ در این معادله $\alpha - \frac{dz}{z^{N+1}}$ باید بر $E(U_0)$ و $E^*(U_0)$ عمود باشد، بنابراین در $H(U_0)$ قرار می‌گیرد.

به عنوان یک نتیجه مستقیم از لم ۲۹ و ۳۵، گزاره‌ی زیر را داریم:

گزاره ۳۶. دیفرانسیل

$$\Omega := \frac{1}{4}(\alpha + i * \alpha)$$

روی $\mathcal{R} \setminus R$ و دیفرانسیل $\Omega - \frac{dz}{z^{N+1}}$ روی U_0 هارمورفیک است.

وجود دیفرانسیل‌های نرمال شده نوع دوم، $\Omega_R^{(N)}$ که در قضیه‌ی ۱۸ بیان شده است، از گزاره‌ی ۳۶ نتیجه می‌شود. برای اثبات وجود دیفرانسیل‌های نوع سوم، باید از دیفرانسیل‌های

$$\psi_{P_1 P_2} = d\left(\rho \log \frac{z - z_1}{z - z_2}\right)$$

شروع کنیم که $z_1 = z(P_1)$ و $z_2 = z(P_2)$ مختصات موضعی دو نقطه‌ی $P_1, P_2 \in U_0$ است. با اعمال کارهایی که برای دیفرانسیل‌های نوع دوم انجام دادیم، دیفرانسیل‌های نوع سوم $\Omega_{P_1 P_2}$ با

$$res_{P_1} \Omega_{P_1 P_2} = -res_{P_2} \Omega_{P_1 P_2} = 1$$

بدست می‌آید. و در نهایت هر دیفرانسیل آبی نوع سوم Ω_{RQ} روی رویه‌ی ریمانی فشرده را می‌توان به صورت جمع متناهی از دیفرانسیل‌های پایه $\Omega_{P_1 P_2}$ نوشت.

مراجع

[1] Alexander Bobenko, *Differential Geometrie III: Compact Riemanna Surfaces*.